

حساب عزم المحرك ذي المقاومة المغناطيسية المتغيرة في حالة الكبح

الدكتور المهندس عباس صندوق*

الملخص

أُجريت دراسة تحليلية لبيان كيفية حساب عزم المحرك ذي المقاومة المغناطيسية المتغيرة في حالة الكبح (SRM) إذ إن هذا النوع من المحركات يُعد بالتصنيف من الحالات الخاصة لمحركات التيار المستمر، ولذلك استُخدمت معادلات محرك التيار المستمر لدراسة الحالة عند الكبح ومقارنة هذه الحالة بالمحرك ذي المقاومة المغناطيسية المتغيرة. والطريقة التي اعتمدت جديدة ومناسبة للحصول على تابع العزم في المحرك ذي المقاومة المغناطيسية المتغيرة والذي من خلاله يمكن أن يتحقق العزم المطلوب في حالة السكون للmotor (الكبح). مع الأخذ بالحسبان أن العزم في هذا النوع من المحركات ذو قيمة متغيرة من محرك إلى آخر نظراً إلى اعتماده على عدد أقطاب الثابت وأسنان الدائر.

الكلمة المفتاحية: المحرك ذو الممانعة المغناطيسية المتغيرة.

* كلية الهندسة الميكانيكية والكهربائية جامعة دمشق

وهي ثابتة تقريباً عند تيار ثابت ، ويمكننا التعبير عنها بالعلاقة الآتية :

$$R_m = R_{mg} + R_{miron} \quad (2)$$

ولمّا كان عدد أقطاب الثابت يختلف عن عدد أسنان الدائرة في هذا النوع من المحركات لذلك فإن العزم يختلف حسب عدد أقطاب الثابت وأسنان الدائرة وعلى سبيل المثال في المحرك ذي عدد الأقطاب 4/6 تكون علاقة العزم من

الشكل الآتي [3]:

$$T = T_0 \frac{1}{(\theta_r \frac{R_{miron}}{R_{mg min}} + 1)^2} \quad (3)$$

إذ:

$$T_0 = \frac{1}{2} \frac{i^2 N}{\theta_{max} R_{mg min}} \quad (4)$$

$$\theta_r = \frac{\theta}{\theta_{max}} = \frac{\theta}{\beta} \quad (5)$$

أمّا إذا كان المحرك من النموذج 3/4 نجد أن هذه المعادلة تصبح كما في العلاقة (6):

$$T = T_0 \frac{4(1 - \theta_r)}{[\frac{R_{miron}}{R_{mg min}} (2\theta_r - \theta_r^2) + 2]^2} \quad (6)$$

ومن ثم نجد أن العزم لا يتأثر بالحثية L (نماذج هذا النوع من المحركات هي من مضاعفات النموذجين المذكورين أعلاه) . يمكن حساب العزم الوسطي لهذا النوع من المحركات بالعلاقة الآتية:

$$T_{ave} = \frac{1}{\theta_N} \int_0^{\theta_N} T d\theta \quad (7)$$

إذ: $\theta_N = \frac{2\pi}{n m}$ وتمثل (n) عدد أسنان الدائرة في حين (m) هي عدد أقطاب الدائرة، وبالحل يمكننا كتابة المعادلة على الشكل الآتي:

1-حساب عزم المحرك ذي المقاومة المغناطيسية المتغيرة في حالة الكبح

- مقدمة :

أعطت البحوث والدراسات التي عالجت العزم في المحرك ذي المقاومة المغناطيسية المتغيرة علاقة العزم بالعلاقة (1). [3,5,6,8]

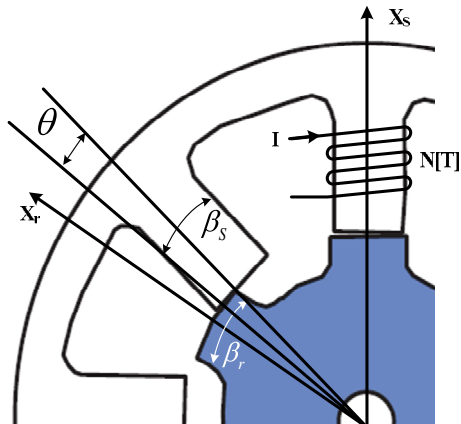
$$T = \frac{1}{2} i^2 \frac{dL}{d\theta} \quad (1)$$

إذ : T: العزم .

L: الحثية (التحريض الذاتي).

θ : زاوية التداخل بين سن دائرة ومحور قطب الثابت كما هو مبين في الشكل (1).

i : تيار الثابت.



الشكل (1): يبيّن زاوية التطابق بين سن دائرة وقطب الثابت

ونظراً إلى أن الحثية L تعطى عادة بالعلاقة: $L = N^2 / R_m$ ، إذ N هو عدد لفات الملف الواحد لأحد أقطاب الثابت، و R_m هي المقاومة المغناطيسية للدارة وتكون من جزأين

هما مقاومة الثغرات الهوائية R_{mg} وهي مقاومة متغيرة حسب تغير السطح بين الثابت والدائرة أو مايسى بسطح التطابق، و مقاومة المعدن المغناطيسي للدارة $R_{m iron}$

C: ثابت ويمكن تعرف واحدة هذا الثابت من تجنس الوحدات بالجانبين إذ واحدة ϕ بالوحدات الأساسية هي $\frac{N.m}{A}$ ، وحدة العزم N.m، ومن ثم فإن واحدة الثابت

C هي $\frac{1}{H}$ أي مقلوب عامل التحرير المتبدال أو المقاومة المغناطيسية المتبدالة. إذ إنه وبالتبديل نحصل على:

$$Nm = \frac{Nm}{A} \frac{Nm}{A} C \Rightarrow \quad (11)$$

$$C = \frac{A^2}{Nm} = \frac{A}{Wb} = C' \frac{1}{H}$$

$$T = C' \cdot \frac{1}{L} \cdot \phi_1 \cdot \phi_2 \cdot \sin\alpha \quad (12)$$

$$= C'' \cdot R_m \cdot \phi_1 \cdot \phi_2 \cdot \sin\alpha$$

ويمكننا أن نكتب:

$$\begin{aligned} T &= k \cdot \phi_1 \cdot i_2 \cdot \sin\alpha \\ &= k \cdot \phi_2 \cdot i_1 \cdot \sin\alpha \end{aligned} \quad (13)$$

الزاوية α هي الزاوية بين محوري الملفين لأن كلا السيلتين ثابتان أو ناتجتان عن تيار مستمر والزاوية α لا تتغير بتغيير الزمن.

ب - في آلات التيار المستمر [2,1] عندما نحسب العزم الناتج بين الثابت والدائرة نبدأ باستقاق علاقة القوة الكهرومغناطيسية المؤثرة في كل ناقل من نوافل المترعرض في لحظة ما (F_{ci}) والتي تساوي:

$$F_{ci} = B_{Li} I_c l_a \quad (14)$$

إذ: I_c التيار المار في الناقل.

l_a طول الناقل ضمن المجرى.

B_{Li} كثافة السيالة في حالة التحميل عند الناقل i .

ويكون العزم الناتج من الناقل الواحد:

$$T_{ci} = \frac{D_a}{2} B_{li} I_c l_a \quad (15)$$

إذ $\frac{D_a}{2}$ نصف قطر المترعرض ونعد ذراع العزم.

$$T_{ave} = T_0 \left[\frac{1}{\theta_N R_{miron}} + \frac{2\theta_{max} \theta_N}{\theta_N (2\theta_{max} - \theta_N)} \right] \quad (8)$$

ويمكننا أن نعبر عن العلاقة (8) بالعلاقة الآتية:

$$T_{ave} = c T_0 \quad (9)$$

إن هذه المعادلات لاتعطينا قيمة العزم في حالة الكبح أي عند انعدام السيالة بالنسبة إلى الزمن، وتتعذر القوة المحركة الناتجة من تغير التيار وكذلك الاستطاعة المتحولة أو تحولات القدرة، لذلك لابد لنا من معرفة من أين ينشأ العزم وكيف تتغير قيمته كتابع لزاوية التداخل بين الثابت وال دائرة .

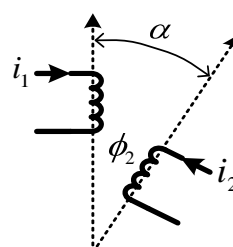
2-حساب العزم بين الثابت وال دائرة عندما يكون الدائرة ثابتًا (حالة الكبح)

(عزم الكبح تابع لزاوية التداخل بين أقطاب الثابت وأسنان الدائرة).

يمكن حساب هذا العزم وعلاقته بزاوية التداخل بالاعتماد على المبادئ الأساسية في تشكيل العزوم بين السيالات أو بالاعتماد على العزوم الناشئة في الآلات وفي مقدمتها آلات التيار المستمر، إذ نعلم:

آ - إن العزم الناشئ بين ملفين يولد كل منهما سيالة قيمتها ϕ_1 بالنسبة إلى الملف الأول و ϕ_2 بالنسبة إلى الملف الثاني ولما كانت هناك زاوية α بين محوري هذين الملفين كما في الشكل(2) فإن العزم يعطى عند ذلك العلاقة(10). [1]

$$T = C \cdot \phi_1 \cdot \phi_2 \cdot \sin\alpha \quad (10)$$



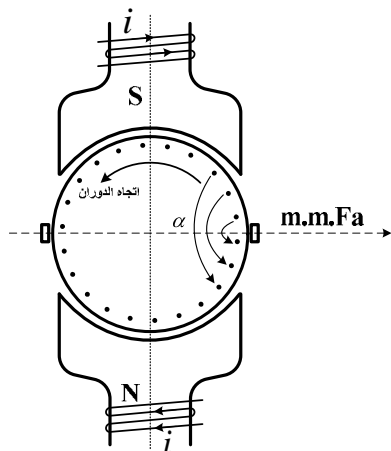
الشكل(2): يبيّن الزاوية بين محوري الملفين

$$\frac{T}{P} = Z \phi_l \frac{I_c}{\pi} = \frac{2}{\pi} \phi_l \frac{Z}{2} I_c \quad (21)$$

وهو العزم الناشئ بين الثابت وال دائير في حالة الآلة ذاتقطبيين، إن هذا العزم يمثل عزماً لنصفين، الأول هوالسيالة ϕ_l والثاني قوته المحركة المغناطيسية I_c ، إذا كانت الآلة ذاتقطبيين و $\frac{Z}{2P} I_c$ إذا كانت متعددة الأقطاب و $\frac{\pi}{P}$ ميكانيكية قيمتها π إذا كانت الآلة ذاتقطبيين وهي

إذا كانت متعددة الأقطاب، ويمثل المقدار $\frac{2}{\pi}$ عامل توزع الملف خلال الخطوة القطبية ومن جهة ثانية إن المقدار $\frac{2}{\pi} \phi_l \frac{Z}{2} I_c$ يمثل القيمة الوسطية للتتابع الجيبيللعزم الذي قيمته العظمى $\frac{Z}{2} I_c \phi_l$ وهذا يتحقق عندما يكون هذا الملف غير موزع على الدائر (نواقله منطبقة فوق بعضها بعضاً).

إن الزاوية α الواقعة بين محور كل من ملف الأقطاب والملف الذي تشكله نواقل المترعرض هي $\frac{\pi}{2}$ في حالة الآلة ذاتقطبيين كما هو موضح في الشكل (3-a).



الشكل(3-a): يبين الزاوية بين محور ملف الأقطاب ومحور ملفات المترعرض

جميع نواقل المترعرض ذات العدد z عندما تكون المسفرات في مواضعها الطبيعية تشكل عزماً ذا اتجاه واحد حول محور الدوران وقيمة هذا العزم هي:

$$T = (T_{c1} + T_{c2} + T_{c3} + \dots + T_{cz})$$

$$= \sum_1^z T_{ci} = \sum_1^z \frac{D_a}{2} B_{li} \cdot I_c \cdot l_a \quad (16)$$

$$T = \frac{D_a}{2} I_c \cdot l_a \sum_1^z B_{li}$$

باستبدال المقدار $\sum_1^z B_{Li}$ بالقيمة الوسطية B_{lave} مضروبة بعدد الحدود نحصل على المعادلة الآتية:

$$\begin{aligned} T &= Z \frac{D_a}{2} B_{lave} \cdot I_c \cdot l_a \\ &= Z \frac{D_a}{2} F_{cave} = Z \cdot T_{cave} \end{aligned} \quad (17)$$

وهكذا نجد أن العزم بين الثابت وال دائير هو مجموع العزوم الوسطية لـ Z ناقل، وإذا استبدلنا كثافة السيالة الوسطية بالعلاقة:

$$B_{lave} = \frac{\phi_l}{\pi D_a l_a} \quad (18)$$

إذ ϕ_l السيالة تحت القطب الواحد في حالة التحميل نحصل على:

$$T = 2P Z \phi_l \frac{I_c}{2\pi} \quad (19)$$

وبدلالة التيار الكلي للمترعرض

$$T = \frac{P}{a} Z \phi_l \frac{I_a}{2\pi} \quad (20)$$

وهي علاقة معروفة ومشهورة في آلات التيار المستمر. من العلاقة (20) نجد أن العزم الناتج من النواقل الموجودة تحت زوج من أقطاب الآلة هو:

المباشر ونجد سواءً عدّدنا ϕ ثابتةً أو متغيرةً فإن العزم ينعدع عندما تصبح الزاوية $\beta = \frac{\pi}{2}$ أي إنَّ محور ملف المترض منطبق على محور ملف الثابت إذ عندها $\alpha = 0$.

ويختلف تأثير هذه الإزاحة حسب نقطة العمل للالة في منحني الخصائص المغناطيسية. فإذا كانت نقطة العمل تقع في المنطقة الخطية نستطيع أن نكتب:

$$\phi'_l = \phi_l + \phi_{ad} = \phi_M + \phi_{ad} \quad (24)$$

إذ ϕ_M هي قيمة ϕ في حالة اللاحمل.

ϕ_{ad} السيالة الناتجة من رد الفعل المباشر والذى تشكله النواقل الموجودة بين الخطين المنقطين على الشكل السابق، ومن ثم نكتب عندها:

$$\phi'_l = \phi(1 + \frac{F_p}{F_{ad}}) \quad (25)$$

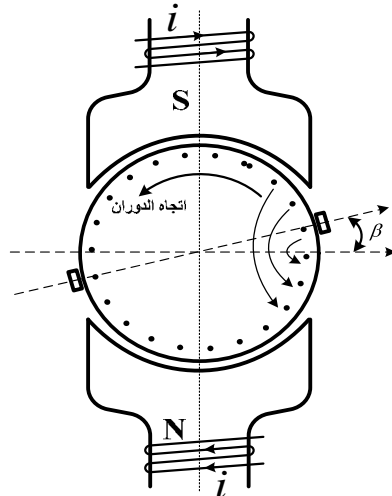
إذ F_p القوة المحركة المغناطيسية لقطبين من الأقطاب الرئيسية.

F_{ad} القوة المحركة المغناطيسية لهذا الملف وهي :

$$\frac{Z}{2} I_c \sin \beta \quad \text{إذا عُدَّ أن توزع القوة المحركة}$$

لمغناطيسية لهذه النواقل جيبي.

وتعطى بالشكل $\frac{Z}{2} I_c \frac{\beta}{\pi}$ إذا عُدَّ التوزع مثلياً. ويكون العزم الناشئ من هذه النواقل مساوياً الصفر لأن محور هذا الملف منطبق مع محور السيالة، أو العزم الناشئ من النواقل خارج الخطين المنقطين فهو العزم الناتج بين الثابت والدائرة وتكون القوة المحركة المغناطيسية الناتجة عنه $\frac{2Z}{\pi^2} I_c \cos \beta$ في حالة آلة ذات قطبين ويكون العزم الناتج:



الشكل (3-b): يبيّن الزاوية بين محور ملف الأقطاب ومحور ملفات المترض

وهي زاوية ميكانيكية تبقى متساوية لـ $\frac{\pi}{2}$ كزاوية كهربائية أو مغناطيسية مهما تعددت الأقطاب ومن ثم يمكننا أن نكتب علاقة العزم ثانية تحت قطبين من أقطاب الآلة بأنها جداء السيالة في الثغرة الهوائية الناتجة بشكل أساسي من ملفات الأقطاب بقيمة الوسطية للقوة المحركة المغناطيسية للجزء الدائر بحسب الزاوية المحسورة بين محوري هذين الملفين :

$$T = \phi_l \frac{Z}{2} I_c \sin \alpha \quad (22)$$

$\alpha = \frac{\pi}{2}$ عندما تكون المسفرات في وضعها المطبق أمّا عند إزاحة المسفرات بزاوية ميكانيكية β عن وضعها الطبيعي كما هو موضح بالشكل (3-b) فإننا نستطيع حساب العزم بالعلاقة الآتية:

$$\begin{aligned} T &= \phi'_l \frac{Z}{2} I_c \sin(\frac{\pi}{2} - \beta) \\ &= \phi'_l \frac{Z}{2} I_c \cos(\beta) \end{aligned} \quad (23)$$

إذ ϕ'_l السيالة الجديدة بعد الإزاحة، وهنا تدخل فيها السيالة الناتجة عن ملفات المترض ووفق المحور

الآلية تدور أو كانت ساكنة أي سواء كانت هناك تحولات للقدرة أم لم تكن.

انطلاقاً من هذه المعلومات والتوضيحات الواردة في حالة حساب العزم بين ملفين أو في حالة آلية التيار المستمر عندما تكون هناك إزاحة أو زاوية غير $\frac{\pi}{2}$ بين المحورين

يمكنا أن نحسب العزم الناتج بين الثابت وال دائرة أو قطب واحد من الثابت مع سن واحد من الدائرة في المحرك ذي المقاومة المغناطيسية المتغيرة سواء كانت الآلة دائرة أو ساكنة، أي يمكننا أن نحدد قيمة عزم الإقلاع الساكن أو

العزم الذي سيظهر على محور الدائرة عند تثبيته أو في حالة الكبح كتابع لزاوية التطابق بين قطب الثابت وسن الدائرة. ويتم ذلك وفق ما يأتي:

السيالة المارة في أسنان الدائرة مصدرها هو السيالة الناتجة من أقطاب الثابت ومن ثم تؤول علاقة العزم في هذه الآلة إلى الشكل:

$$T = C''_1 \cdot \phi_s^2 \cdot \sin \alpha \quad (29)$$

ϕ_s سيالة قطب الثابت. ويمكننا أن نكتبها بدلالة المقاومة المغناطيسية كما يأتي:

$$T = C'' \cdot R_m \cdot \phi_s^2 \cdot \sin \alpha \quad (30)$$

بالمقارنة بقيمة العزم في آلة التيار المستمر يكون C' هو عامل التوزيع للملف وعندما يكون الملف متمركزاً وغير موزع فإنه يساوي C'' .

إذ: R_m هي المقاومة المغناطيسية لدارة القطب الثابت وسن الدائرة في وضع ما. والزاوية α هي الزاوية بين محور القطب الثابت ومحور سن الدائرة الذي يطلب

$$\cdot L = \frac{N^2}{R_m}$$

هنا N عدد لفات ملف الجزء الثابت [6,3].

$$T = \phi_l \cdot Z \cdot I_c \cdot \cos \beta = \\ = \frac{2}{\pi} Z \cdot I_c \cdot \cos \beta \left(1 \mp \frac{\frac{Z}{2} I_c \cdot \sin \beta}{2 N_p \cdot I_{fp}} \right) \quad (26)$$

عدد لفات كل قطب I_{fp} التيار المار في كل قطب عند تيار تحمل ثابت يمكن أن نكتب هذا العزم عند الإزاحة بزاوية β والخصائص خطية بدلالة العزم عندما $\Leftrightarrow \beta = 0$

$$T_\beta = T \cos \beta \left(1 \mp C \sin \beta \right) \quad (27)$$

\pm : عندما تكون سيالة رد الفعل باتجاه السيالة الرئيسية (+) و (-) عندما تكون سيالة رد الفعل باتجاه معاكس للسيالة الرئيسية.

أما إذا أخذنا بالتوزيع المثلثي للقوة المحركة المغناطيسية الناتجة في نواقل المترعرض فإن العزم عند زاوية β هو:

$$T_\beta = \frac{k_w \beta}{k_w} \frac{2}{\pi} \frac{Z_c}{2} I_c \times \\ \left(1 - \frac{2\beta}{\pi} \right) \left(1 \mp C' \frac{2\beta}{\pi} \right) \quad (28)$$

أما إذا كانت نقطة العمل لآلية تقع في المنطقة المشبعة فإننا لانستطيع صياغة علاقة العزم الجديد بدلالة الزاوية β إنما كل ما يمكن قوله إن تأثير هذه الزاوية أقل وخاصة في قيمة السيالة ويبقى تأثيرها في علاقة العزم ضعيفاً ومهملاً. وعندما نهمل هذا التأثير في علاقة السيالة يمكن أن نكتب العزم عندها بدلالة زاوية الإزاحة وهي:

حالة التوزيع الجيبي:

$$T_\beta = T_{at, \beta=0} \cos \beta = T \cos \alpha$$

$$T_\beta = T \left(1 - \frac{2\beta}{\pi} \right)$$

أما عندما تكون الآلة متعددة الأقطاب فيأخذ العزم الصيغة:

$$T_\beta = T \left(1 - \frac{2p\beta}{\pi} \right)$$

إن حسابات العزوم التي ذكرناها تبقى نفسها سواء كانت

الإزاحة β إذ عندما يصبح التطابق تماماً تصبح هذه الزاوية مساوية إلى $\frac{\pi}{2}$ فتؤول الزاوية α بدورها إلى $\frac{\pi}{2}$ وينعد عندها العزم.

يمكن حساب هذا العزم عند الزاوية α أو ما يوافقها من الزاوية θ بالعلاقة الآتية:

$$T = C'' R_m \phi^2 \sin \alpha = C'' R_m \phi^2 \cos \theta \quad (31)$$

السيالة ϕ كما رأينا هي:

$$\phi = \frac{NI}{\sum R_m} \quad (32)$$

إذ: I التيار المار في ملف الثابت ذي عدد اللفات N
والمقاومة $\sum R_m$

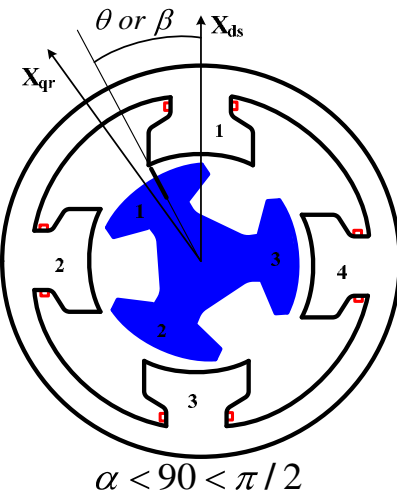
$$\sum R_m = R_{mg} + R_{miron} \quad (33)$$

هنا R_{mg} تابع لزاوية التطابق أو التداخل θ بين قطب الثابت والدائرة ويمكن كتابتها بشكل $R_{mg \min} \frac{\beta}{\theta}$ إذ زاوية التطابق العظمى أو زاوية انتشار كل من قطب الثابت وسن الدائر.

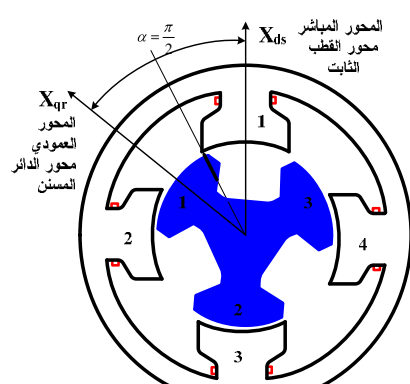
R_{miron} هي مقاومة باقي الأجزاء الحديدية للدارة، ونكتب علاقه العزم العلاقة الآتية:

$$T = C' \cdot \phi \cdot \phi \cdot R_m \cdot \cos \beta \quad (34)$$

من علاقه العزم السابقة يمكننا أن نعيّن قيمة العزم كدالة مع زاوية التطابق θ في الحالات الآتية:
1 - الحالة الأولى : كل من السيالة ϕ والمقاومة المغناطيسية R_m ثابتة بعد قيمة معينة للزاوية θ ويتحقق ذلك عندما تكون الدارة المغناطيسية مشبعة جداً أي إن قيمة $N.I$ داخلة ضمن منطقة الإشباع



$$\alpha < 90 < \pi/2$$



$$\alpha = 90 = \pi/2$$

الشكل(4): يبيّن وضع أقطاب الدائر بالنسبة على أقطاب الثابت عند حالتين في المحرك SRM 3/4.

من الشكل (4) نجد أنه عندما ينطبق محور سن الدائير على المحور العمودي للثابت تكون الزاوية بينه وبين المحور المباشر للقطب الثابت هي $\alpha = \pi$ (زاوية التطابق)، في حين $\theta = 0$ وهو وضع يماثل الوضع بين الثابت والدائرة في آلة تيار مستمر عندما تكون المسفرات في مواضعها الطبيعية أي زاوية الإزاحة = الصفر. أمّا عندما يحدث تداخل بين قطب الثابت والدائرة بزاوية قيمتها θ فإن الزاوية بين محوري كل من قطب الثابت وسن الدائير α نقل عن $\frac{\pi}{2}$ وزاوية التطابق هذه تماثل زاوية

وعندما تصبح السيالة ϕ :

$$\phi = \frac{N \cdot I}{R_{mg} + R_{miron}} \approx \frac{N \cdot I}{R_{mg}} \quad (36)$$

$$\phi = \frac{N \cdot I}{R_{miron} \frac{\beta}{\theta}} \approx \phi_{max} \frac{\theta}{\beta}$$

$$T = C' \cdot \phi_{max} \frac{\theta}{\beta} N \cdot I \frac{\theta}{\beta} \cos \theta \quad (37)$$

$$T = T_{max} \frac{\theta}{\beta} \cos \theta$$

هذا T_{max} قيمة العزم عندما يكون $\phi = \phi_{max}$ والموافقة

$\theta = \frac{\pi}{2}$ لزاوية تطابق تساوي β ولكن عندما تكون

ونجد من هذه العلاقة أن تابع العزم هو من الشكل :

$$T = f(\theta) \quad (38)$$

$$T = f(\theta \cos \theta)$$

يبلغ هذا العزم قيمة أعظمية عندما

$$\frac{dT}{d\theta} = 0, \cos \theta = \theta \cdot \sin \theta \quad \text{أو عندما}$$

$$\theta = C_o T_{ag} \theta$$

إذا نشرنا $\cos \theta$ في علاقة العزم وقربنا إلى الحد الثاني فإن :

، وإذا اشتقتنا العلاقة الثانية بعد تبديل θ^2

$\cos \theta$ بهذه القيمة يصبح العزم :

$$T = \frac{T_{max}}{\beta} \theta \left(1 - \frac{\theta^2}{2}\right)$$

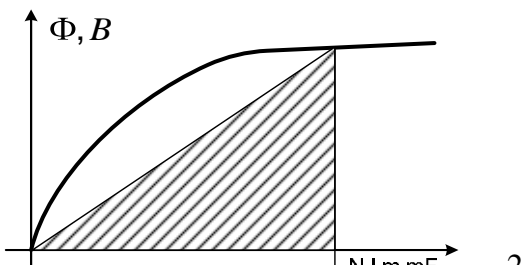
$$1 - \frac{\theta^2}{2} - \theta^2 = 0 \quad (39)$$

$$1 - \frac{3}{2} \theta^2 = 0$$

$$\theta = \sqrt{\frac{2}{3}} = 0.816 = 46^\circ$$

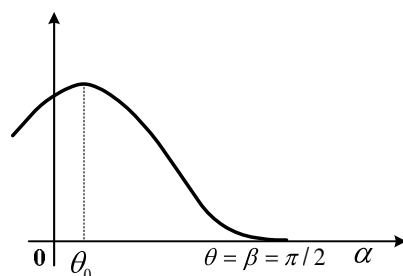
وهكذا يمكن أن نجد أن القيمة العظمى للعزم تتحصى بين

كما في الشكل (5). إن الثغرة الهوائية ذات طول صغير ℓ_g ومقاومة هذه الثغرة R_{mg} بعد أن تحدث زاوية تداخل صغيرة θ تصبح أقل من R_{miron} ومن ثم تغيير الزاوية بالزيادة إلى تصغير تلك المقاومة أكثر والمقدار R_m ليس له علاقة بـ $N \cdot I$ وإنما هو أي بالقوة المحركة المغناطيسية للفل الأقطاب ويكون العزم في هذه الحالة:



الشكل (5): يبيّن العلاقة $\Phi=f(N \cdot I)$

و عند قيمة صغيرة لـ θ على النحو $\theta_0 = C' \phi_{90^\circ} N \cdot I$ يكون العزم عند أي قيمة أخرى $T = T(\theta) = C' \phi N \cdot I$ من الجدير بالذكر أن قيمة العزم تناسب مع مساحة المثلث المهاشر المبيّن في الشكل (5).



الشكل (6): يبيّن العلاقة $T=f(\theta)$

2 - الحالة الثانية قيمة السيالة ϕ , R_m , β ليستا ثابتتين وهذا يحدث عندما تكون نقطة العمل في المنطقة الخطية وطول الثغرة الهوائية ℓ_g ليس صغيراً نسبياً أي إن قيمة المقاومة المغناطيسية للثغرة الهوائية يمكن عدها المقاومة الرئيسية للدارة:

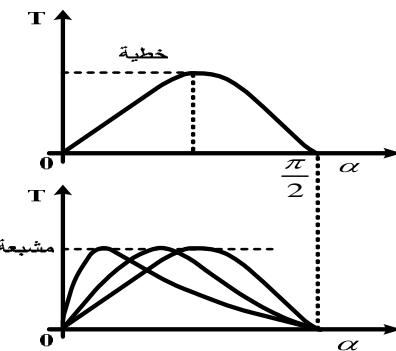
$$R_m = R_{mg} \pm R_{miron} \approx \quad (35)$$

$$R_{mg} = R_{mg} \min \frac{\beta}{\theta}$$

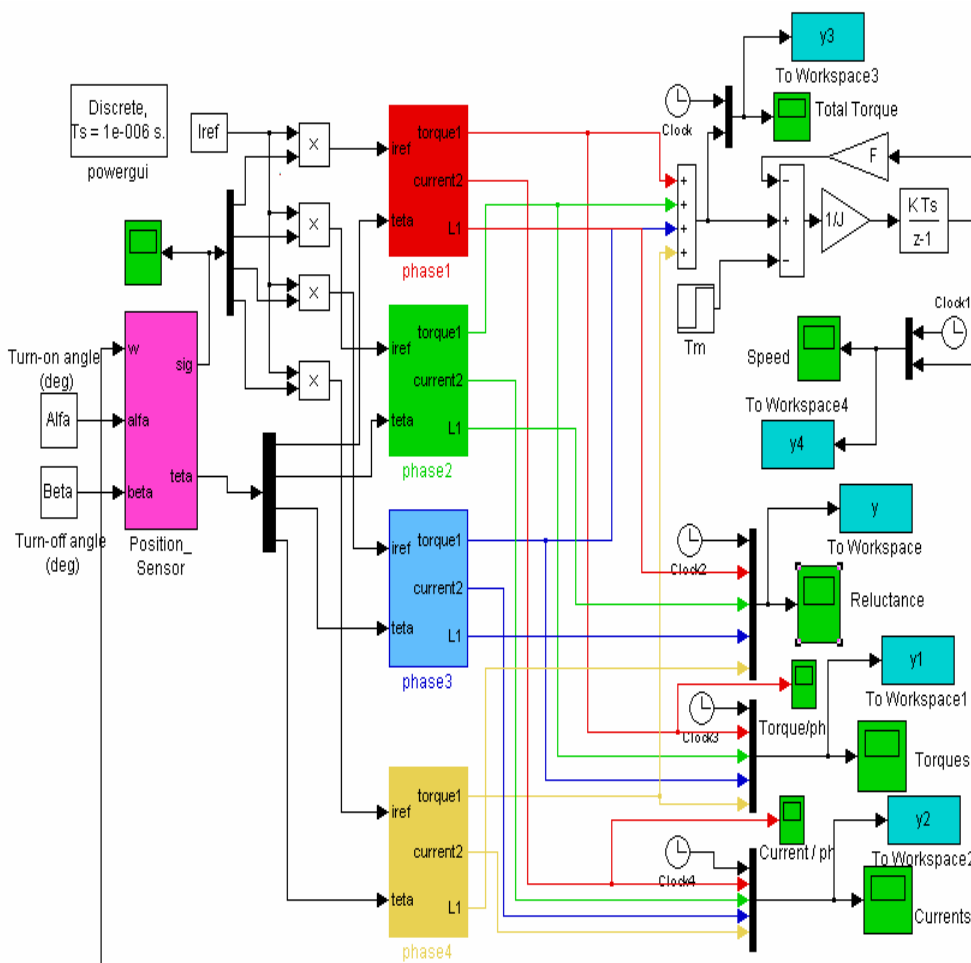
- بناء مخطط لمحاكاة أداء المحرك باستخدام البيئة البرمجية Matlab/Simolink

لإظهار منحنى العزم الناتج من الأقطاب كتابع للزمن أوكتابع للزاوية θ وكذلك العزم الكلي الناتج من المحرك والتيارات والتورات لأقطاب المحرك فقد بُنيَ مخطط لمحاكاة المحرك وقد ركزنا هنا على إظهار تغيراً العزم مع تغيرات الزاوية θ . إذ تبيّن الأشكال (8) و (9) و (10) المخطط الصندوقي ونتائج المحاكاة.

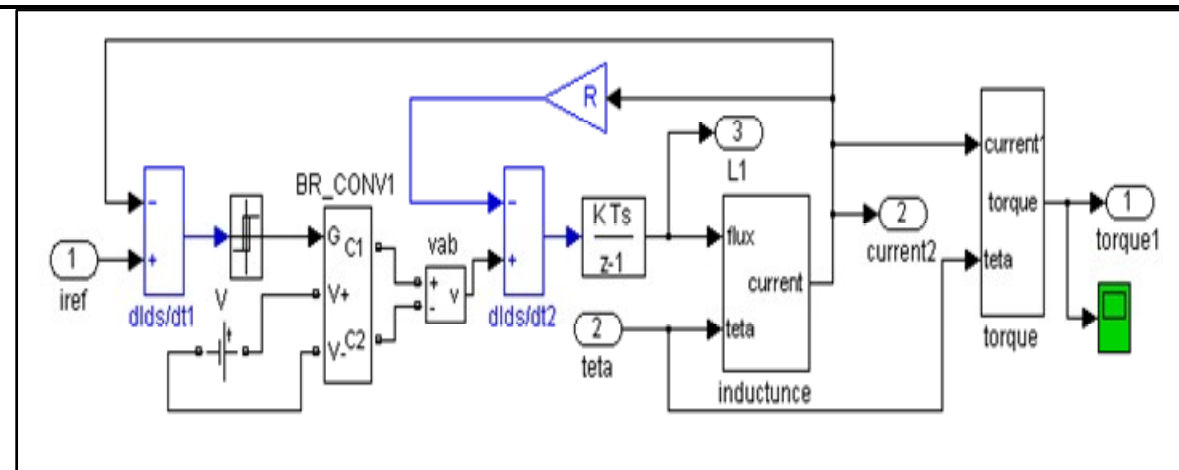
الزاوية θ وبين الزاوية 46° أو تقريباً $\frac{\beta}{2} \approx$ كما هو موضح في الشكل (7).



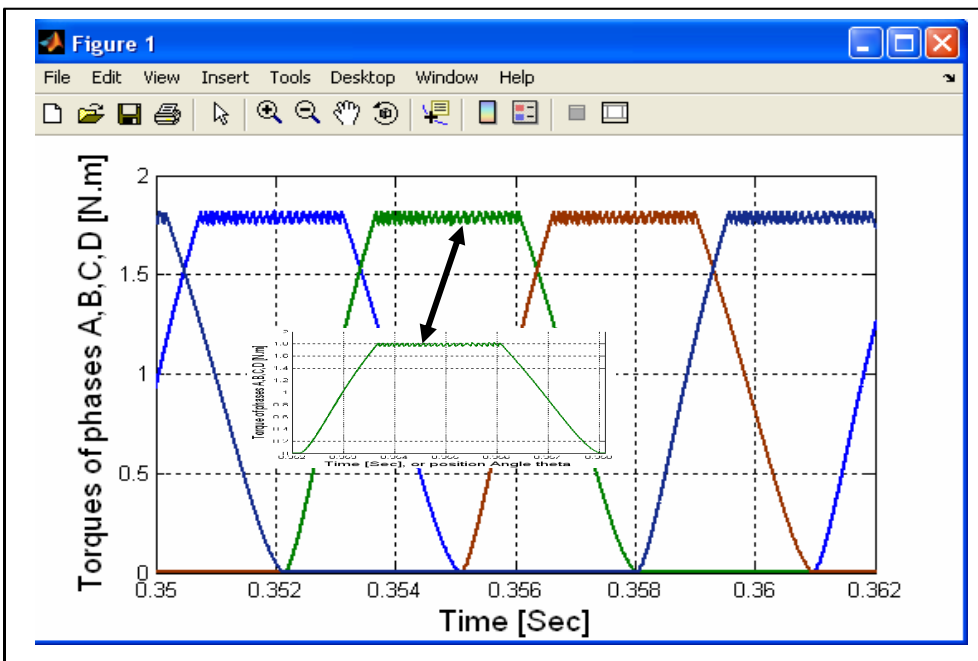
الشكل(7): يبيّن العلاقة بين العزم والزاوية α



الشكل(8): المخطط الصندوقي للمحاكاة



الشكل(9): المخطط الصنديقى للمحاكاة (الجزء الخاص بالعزم)



الشكل(10): منحنيات العزوم

المغناطيسية الأصغرية، حسب ما هو موضح في البحث).

بمقارنتها بالعزم في آلات التيار المستمر عند التوزيع الجيبى تعطى بالشكل (9)، إذ إن $T_\beta = T \cos \alpha$

بمحددات المحرك (السائلة، عدد النوافل، التيار، حسب ما هو موضح في البحث)، وبحاله التوزيع المثلثي من

- الخاتمة:

من خلال الدراسة وجدنا أن معادلة العزم للمحرك ذي المقاومة المغناطيسية المتغيرة هي من الشكل :

$$T = T_{\max} \frac{\theta}{\beta} \cos \theta$$

إذ إن T_{\max} مرتبطة بمحددات المحرك (السائلة، عدد اللفات، التيار، زاوية التطابق الأعظمية بين الثابت والدائر، المقاومة

$$\text{الشكل } . T_{\beta} = T \left(1 - \frac{2\beta}{\pi}\right)$$

أيضاً إن T مرتبطة بمحددات المحرك وهذه العلاقات الموصفة للعزم تشتراك بالعديد من المحددات مثل:[السائلة، عدد اللفات (النواقل)، التيار....] مما يؤكد التشابه بين خواص العزم في محركات التيار المستمر والمحرك المدروس ذي المقاومة المغناطيسية المتغيرة، وقد أكدت العلاقات (37) و(28) أن حساب العزم الأعظمي لكلا المحركين يعطى بدلة محددات الآلة الثابتة، وهذا يفيدنا بإمكانية استخدام المحرك ذي المقاومة المغناطيسية المتغيرة عوضاً عن محركات التيار المستمر خاصة(السلسلية منها) للتطابق في مواصفاتهما مع التأكيد أن العزم في المحرك ذي المقاومة المغناطيسية المتغيرة يتأثر بوضع الدائير بالنسبة إلى الثابت (زاوية التداخل) وهذا موضح بعلاقة العزم من خلال التابع $\cos \theta$.

المراجع

المراجع العربية

- [1] أ.د محي الدين الدسوقي والدكتور هاغوب بوغوص، آلات التيار المستمر، منشورات جامعة دمشق 1981-1982.
- [2] أ.د محي الدين الدسوقي، محاضرات أقيمت في كلية الهندسة الميكانيكية والكهربائية جامعة دمشق، من عام 2001 وحتى 2005 على طلاب الدراسات العليا.
- [3] عباس صندوق، محي الدين الدسوقي، هايل هارولد، "تصميم وتنفيذ محرك ذو ممانعة مغناطيسية متغيرة لاستخدامه في السيارات الكهربائية"، أطروحة جامعة دمشق، 2005.

المراجع الأجنبية:

- [4] M.D. Cundev, L.B. Petkovska, "Control Analysis of a Switched Reluctance Motor", Trondheim, EPE, Volume 1,pp 619-624, Norway, September 1997.
- [5] Bausch, H., Kanelis, Feedforward Torque control Of aSwitched Reluctance Motor Based On Static Measurements, EuropeanTransactions on Electrical Power, Band 7 (1997), Heft 6,s.373-380
- [6] Dr .Mahmoud Ahmad Abdulatif,Design considerations and performance of switched reluctance motors,Minufiya University,Egypt April,2001.
- [7] Hessian Moghbelli,Gayle.E.Adams.Recharde G.Hoft" performance of a 10-HP switched reluctance motors and comparison with induction motor,IEEE,T-O-I-A,Vol.27,No.3, pp 531-538,May/June 1991.
- [8] J.Corda,S.Masic,stephenson, "Computation and Expermental Determination of Running Torque Waveforms in Switched- Reluctance motors",I EE proceedings,part.B, Vol.140, No.6, November 1993, pp 387.